

СТАРТЕР-ГЕНЕРАТОР ПОСТІЙНОГО СТРУМУ З НЕЯВНОПОЛЮСНИМ СТАТОРОМ ДЛЯ ТЕПЛОВОЗІВ

Розглянутий стартер-генератор постійного струму з неявнополюсним статором для тепловозів, його конструктивні та електромагнітні особливості і відмінності в порівнянні з серійним стартер-генератором.

Рассмотрен стартер-генератор постоянного тока с неявнополюсным статором для тепловозов, его конструктивные и электромагнитные особенности и отличия в сравнении с серийным стартер-генератором.

В свій час були виготовлені і досліджені декілька двигунів постійного струму різної потужності, в яких якір залишався без змін, а статор виконувався неявнополюсним (використовувалось статорне залізо асинхронних машин) з несиметрично розміщеною на половинах полюсних ділень між поздовжньою і поперечною віссю обмоткою послідовного збудження, яка вмикалась так, щоб статорна обмотка разом із якірною обмоткою створювали основний магнітний потік. Незважаючи на те, що використовувались якорі серійних машин, що не є оптимальним рішенням, ці неявнополюсні двигуни показали вражаючі переваги перед своїми серійними аналогами [1, 2, 3].

В зв'язку з неможливістю збільшити потужність стартер-генератора 5ПСГ для тепловозів з 62кВт до 70кВт в тих же габаритах, як того вимагає замовник, керівництво ВАТ "Електромашин", м. Харків, в 2008 р. прийняло рішення виготовити експериментальний стартер-генератор з неявнополюсним статором. На сьогодні такий стартер-генератор виготовлений і досліджується.

Для розуміння відмінностей експериментального стартер-генератора від серійного наведем деякі дані серійного стартер-генератора.

Серійний стартер-генератор має довжину якоря, основних і додаткових полюсів $l_\delta = 205$ мм, діаметр якоря $D_a = 294$ мм, діаметр корпуса 580 мм, зазор під основними полюсами $\delta = 2$ мм, під додатковими полюсами $\delta = (7+2)$ мм. Число полюсів і паралельних віток якоря $2p = 2a = 4$. На основних полюсах розміщена обмотка послідовного збудження для стартерного режиму вагою 12кГ і обмотка незалежного збудження – 45 кГ. Обмотка додаткових полюсів має вагу 37 кГ, всього на статорі 94 кГ міді. Число пазів якоря $Z_a = 46$, число колекторних пластин $k = 138$, секції одновиткові, число активних провідників $N_a = 276$.

При пусковому струмі, який повинен бути не більшим ніж $I_a = 2100$ А, стартер-генератор створює пусковий момент $M_n = 2000$ Нм.

Магнітний потік при цьому

$$\Phi = \frac{M \cdot \alpha \cdot 2\pi}{N_a p I_a} = \frac{2000 \cdot 2 \cdot 2\pi}{276 \cdot 2 \cdot 2100} = 2,167 \cdot 10^{-2} \text{ Вб},$$

Індукція в повітряному зазорі

$$B_\delta = \frac{\Phi \cdot p \cdot 10^4}{D_a \cdot l_\delta} = \frac{2,167 \cdot 10^{-2} \cdot 2 \cdot 10^4}{29,4 \cdot 20,5} = 0,719 \text{ Тл.}$$

В експериментальному стартер-генераторі довжина заліза залишилась незмінною, діаметр якоря збільшився до 332,4мм, число пазів якоря $Z_a = 48$, число колекторних пластин $k = 144$, секції одновиткові, число активних провідників $N_a = 288$. Число полюсів і паралельних віток $2p = 2a = 6$, повітряний зазор $\delta = 1,3$ мм. Залізо статора – з асинхронного двигуна ВАО5П280L4, внутрішній діаметр $D_i = 340$ мм, зовнішній діаметр $D_3 = 520$ мм.

На рис. 1 показана принципова електрична схема.

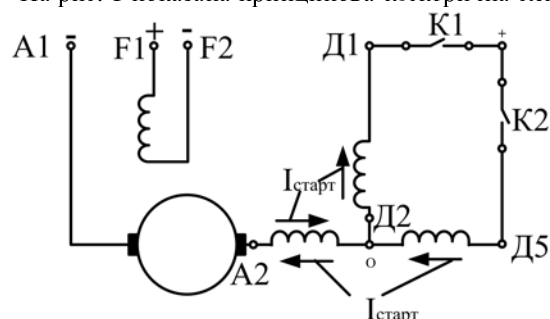


Рис. 1. Принципова електрична схема стартер-генератора

При замиканні контакту К2 стартер-генератор працює в стартерному (двигуновому) режимі. Струм протікає по обмотці статора $D5-0$, яка має активних провідників $N'_{ct} = 30$ (двополюсна частина схеми показана на рис. 2), а також по обмотці статора 0-А2

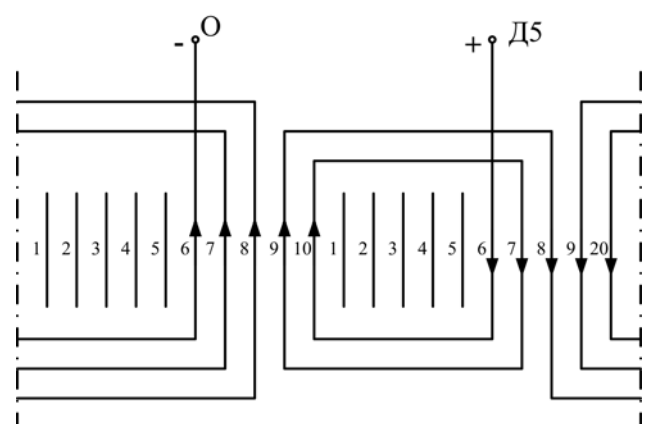


Рис. 2. Стартерна обмотка

(рис. 3, обмотка зображеня жирними лініями, напрям струму в стартерному режимі показаний стрілками в нижній частині пазів). Обмотка 0-A2 має активних провідників $N_{ct}'' = 18$.

При розмиканні контакту K2 і замиканні K1 стартер-генератор переходить в генераторний режим роботи. Напрям струму змінюється в якірній обмотці і в статорній обмотці 0-A2 (на рис. 3 напрям струму в генераторному режимі показаний стрілками у верхній частині пазів), а також протікає по статорній обмотці D2-D1 (рис. 3). Обмотка D2-D1 має активних провідників $N_{ct} = 30$.

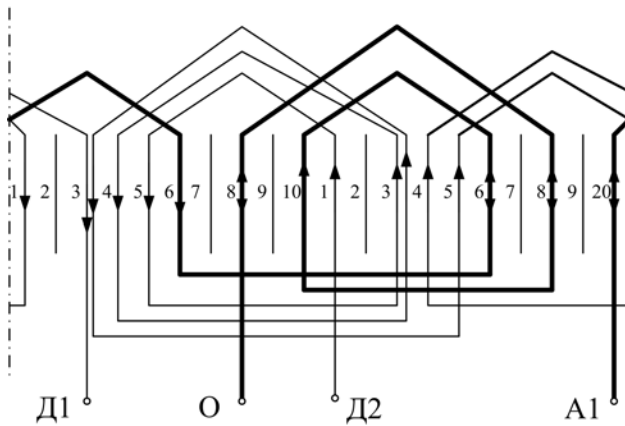


Рис. 3. Генераторна обмотка

Для підтримування незмінною напруги на якірних генераторних виводах A1-Д1 при зміні навантаження чи швидкості обертання якоря служить обмотка незалежного збудження F1-F2 (рис. 4), яка, щоб використовувати серійний реле-регулятор напруги, повинна мати такий же опір збудження R_{zb} , як і в серійній машині.

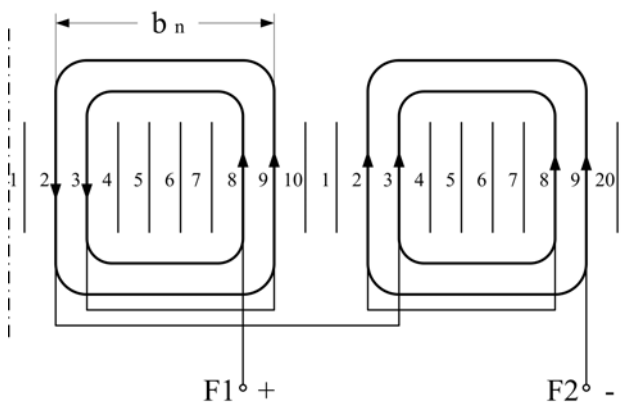


Рис. 4. Обмотка незалежного збудження

В стартерному режимі роботи основний магнітний потік, який направлений на поздовжній вісі d, створюється спільною дією МРС обмотки якоря і МРС стартерної статорної обмотки, яка складається із двох обмоток: обмотки D5-0 та обмотки 0-A2.

Максимальне значення МРС якірної обмотки $F_{aq\max}$:

$$F_{aq\max} = A \cdot \frac{\tau}{2} = \frac{N_a \cdot I_a}{2 \cdot a \cdot \pi \cdot D} \cdot \frac{\pi \cdot D}{2p \cdot 2} = \frac{N_a \cdot I_a}{2a \cdot 2p \cdot 2} \quad (1)$$

Обмотковий коефіцієнт якірної обмотки, оскільки вона рівномірно розподілена по всьому полюсному діленню, вираховується як відношення діаметра до половини довжини кола:

$$K_{ob,a} = \frac{2 \cdot R}{\pi \cdot R} = 0,636 \quad (2)$$

Діюче значення МРС якірної обмотки:

$$F_{aq} = F_{aq\max} \cdot K_{ob,a} = \frac{N_a \cdot I_a}{2a \cdot 2p \cdot 2} \cdot 0,636 = \frac{288 \cdot I_a}{6 \cdot 6 \cdot 2} \cdot 0,636 = 2,544 \cdot I_a \quad (3)$$

Максимальне значення МРС стартерної обмотки – $F_{ct,max}$:

$$F_{ct,max} = \frac{N_{ct} \cdot I_a}{2p \cdot 2} \quad (4)$$

Обмотковий коефіцієнт стартерної обмотки, яка займає тільки половину полюсного ділення, вираховується як відношення хорди чверті кола до четвертини довжини кола:

$$K_{ob,ct} = \frac{2 \cdot R}{\sin 45^\circ \cdot \pi \cdot R} = 0,9 \quad (5)$$

Діюче значення МРС стартерної обмотки:

$$F_{ct} = F_{ct,max} \cdot K_{ob,ct} = \frac{N_{ct} \cdot I_a}{2p \cdot 2} \cdot K_{ob,ct} = \frac{(N_{ct} + N_{ct}'') \cdot I_a}{2p \cdot 2} \times \frac{1}{2} \times \frac{(30+18) \cdot I_a}{6 \cdot 2} \cdot 0,9 = 3,6 \cdot I_a \quad (6)$$

Вектори МРС якірної F_{aq} і стартерної обмоток F_{ct} утворюють між собою кут 135° . Сума цих векторів дає нам результатуючу МРС повздовжньої дії (по вісі d) $F_{pez} = F_d$, яка утворює основний магнітний потік Φ_0 .

$$F_{pez} = F_d = F_{aq} = F_{ct} \cdot \sin 45^\circ = 3,6 \cdot I_a \cdot 0,707 = 2,544 \cdot I_a \quad (7)$$

На рис. 5 на 20-и зубцях статора (подвійне полюсне ділення, $20 = \frac{Z_1}{p} = \frac{60}{3}$) показані напрями струму I_a стартерної обмотки і обмотки 0-A2 в стартерному режимі.

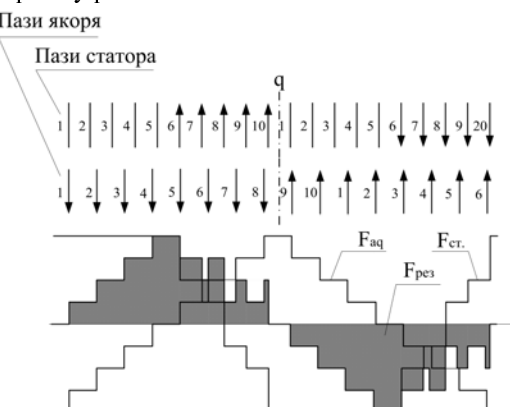


Рис. 5. Стартерний режим

Пази, в яких знаходяться 2 активних провідники, позначені жирними лініями. На 16-и зубцях якоря ($16 = \frac{Z_a}{p} = \frac{48}{3}$), які знаходяться під зубцями статора, указані напрями струму якірної обмотки. Так як в кожному пазу якоря лежить $U_{\Pi}=6$ активних провідників, по яким протікає струм $i_a = \frac{I_a}{2a} = \frac{I_a}{6}$, то

у кожному пазу якоря маємо:

$$F_{n,a} = U_{\Pi} \cdot i_a = 6 \cdot \frac{I_a}{6} = I_a$$

На рис. 5 у відповідності з напрямами струмів і кількістю активних провідників в пазах побудовані MPC якірної обмотки F_{aq} , MPC стартерної обмотки F_{ct} і результуюча MPC $F_{pez} = F_d$, яка є геометричною сумою магніторушійних сил F_{aq} і F_{ct} .

В мить пуску, при $n=0$, згідно з ТЗ, струм стартер-генератора не повинен перевищувати пусковий струм серійного стартер-генератора, тобто $I_a \leq 2100A$.

Використовуючи (7):

$$F_d = 2,544 \cdot 2100 = 5342A$$

Індукція в повітряному зазорі під час пуску:

$$B_{\delta} = \frac{F_d \cdot 10^{-3}}{0,8 \cdot k_{\delta} \cdot k_{\mu} \cdot \delta_{mm}} = \frac{5342 \cdot 10^{-3}}{0,8 \cdot 1,7 \cdot 2,6 \cdot 1,3} = 1,162Tl,$$

де k_{δ} – коефіцієнт повітряного зазору, $k_{\delta}=1,7$; k_{μ} – коефіцієнт, що враховує збільшення опору магнітопроводу, $k_{\mu}=2,6$.

Магнітний потік в мить пуску:

$$\Phi = B_{\delta} \cdot \frac{D_a \cdot l_{\delta} \cdot 10^{-4}}{p} = 1,162 \cdot \frac{33,24 \cdot 20,5 \cdot 10^{-4}}{3} = 2,64 \cdot 10^{-2} B_{\delta}$$

Електромагнітний момент при пуску:

$$M = \frac{N}{a} \cdot \frac{p}{2\pi} \cdot \Phi \cdot I_a = \frac{288}{3} \cdot \frac{3}{2\pi} \cdot 2,64 \cdot 10^{-2} \cdot 2100 = 2542H \cdot m$$

Експериментальні дослідження підтверджують ці дані, пусковий момент збільшився порівняно з серійною машиною на 27%.

В генераторному режимі роботи працюють статорні обмотки А2-0 і Д2-Д1 (рис. 1). Обмотка А2-0 виконує роль компенсаційної обмотки, обмотка Д2-Д1 працює частково теж як компенсаційна обмотка, а також і як генераторна обмотка, роль якої полягає у створенні основного магнітного потоку. Призначення компенсаційної обмотки – обмежити появу надмірного основного магнітного потоку і тим самим зменшити величину ЕРС обмотки якоря при високій частоті обертання якоря.

На кожному подвійному полюсному діленні обмоток А2-0 і Д2-Д1 є 12 активних провідників для компенсації якірної MPC – це симетрично розміщені провідники по всьому полюсному діленні в пазах 1-10, 3-8, 5-6, і на іншому полюсному діленні в пазах 11-20, 13-18, 15-16 (рис. 6). Провідники, що залишаються в пазах 3-4 і 13-14 (всього 4 провідників) створюють MPC F_{gen} , яка по відношенню з нескомпенсованою MPC якоря F_{aq}

знаходиться під кутом $\alpha=144^{\circ}$ (рис. 6).

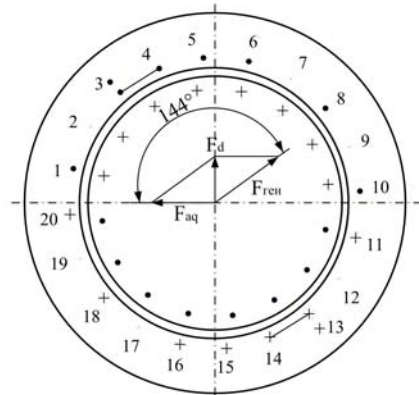


Рис. 6. Активні провідники в пазах статора і якоря

Тому, аналогічно (6):

$$F_{gen} = F_{gen max} \cdot K_{ob.gen.} = \frac{N_{gen} \cdot I_a \cdot K_{ob.gen.}}{2p \cdot 2} = \frac{4 \cdot p \cdot I_a}{2p \cdot 2} \cdot 0,9 = 0,9 \cdot I_a$$

При номінальному генераторному струмі якоря $I_a = 682 A$, аналогічно (7):

$$F_{pez} = F_d = F_{gen} \cdot \sin(180^{\circ} - 144^{\circ}) = 0,9 \cdot I_a \cdot 0,59 = 0,531 \cdot I_a = 337 A$$

На рис. 7 на 20-и зубцях статора показані напрями струму I_a (пази, в яких знаходяться 2 активних провідники, позначені жирними лініями), який створює MPC F_{aq} , на 16-и зубцях якоря показані напрями струму якірної обмотки, який створює MPC F_{aq} , і показана результуюча MPC $F_{pez} = F_d$.

Індукція в повітряному зазорі:

$$B_{\delta} = \frac{F_d \cdot 10^{-3}}{0,8 \cdot k_{\delta} \cdot k_{\mu} \cdot \delta_{mm}} = \frac{337 \cdot 10^{-3}}{0,8 \cdot 1,7 \cdot 1,1 \cdot 1,3} = 0,173Tl$$

Тут $k_{\mu}=1,1$.

Магнітний потік:

$$\Phi = B_{\delta} \cdot \frac{D_a \cdot l_{\delta} \cdot 10^{-4}}{p} = 0,173 \cdot \frac{33,24 \cdot 20,5 \cdot 10^{-4}}{3} = 0,388 \cdot 10^{-2} B_{\delta}$$

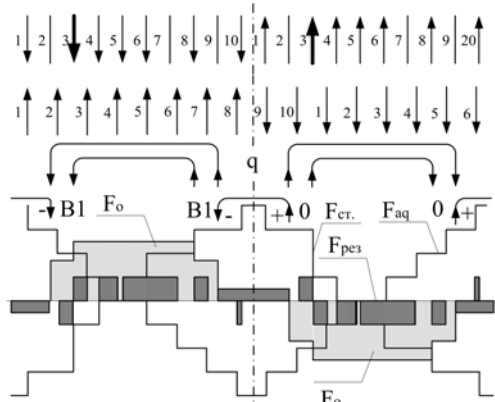


Рис. 7. Генераторний режим

ЕРС E_a в обмотці якоря при максимальній швидкості обертання стартер-генератора:

$$E_a = \frac{p \cdot n}{60} \cdot \frac{N}{a} \cdot \Phi = \frac{3 \cdot 3300}{60} \cdot \frac{288}{3} \cdot 0,388 \cdot 10^{-2} = 62,3 В.$$

Підтримування напруги генератора ($U=110В$) незмінною при будь-якому навантаженні і при зміні швидкості від $n=1050$ об/хв. до 3300 об/хв. забезпечує обмотка незалежного збудження з допомогою реле-регулятора напруги.

Обмотка незалежного збудження (рис. 4) виконана із 2р концентричних котушкових груп, по дві котушки в групі. Великі котушки кроком $y_1=7$ мають число витків $w_{k1}=90$, малі котушки кроком $y_2=5$ виконані числом витків $w_{k2}=50$. Така обмотка має обмотковий коефіцієнт $\kappa_{ob}=0,9$ і створює МРС F_0 , показану на рис. 7. Навантаження на обмотку незалежного збудження значно менше в модернізованому стартер-генераторі порівняно з серійним завдяки меншому повітряному зазору, а також завдяки тому, що частина основного магнітного потоку створюється спільною дією МРС обмотки якоря і генераторної статорної обмотки.

В електричній схемі стартер-генератора передбачені одновиткові котушки обмотки додаткових полюсів 0-В1, які створюють МРС $F_{\text{дод.}}$ (рис. 7), необхідна величина якої експериментально досліджується.

Загальна вага мідного проводу в статорі – 33 кГ, тобто майже в три рази менша, ніж в серійній машині.

Потужність в експериментальній машині збільшується до 70 кВт за рахунок збільшення кількості комплектів щіток в півтора рази, а також завдяки зменшенню електричних втрат в обмотках. Так, для порівняння, втрати в обмотці якоря і додаткових полюсів в серійній машині при струмі $I_a = 564A$, $p_M = 4333$ Вт, а в експериментальній втрати в обмотці якоря і обмотці А2-0 і Д2-Д1 $p_M = 3774$ Вт, тобто на 13% менші.

В експериментальному стартер-генераторі відсутній негативний вплив реакції якоря, який в серійних машинах спровокує магнітний потік в повітряному зазорі і діє розмагнічуючим способом. Відпадає необхідність в додаткових полюсах. Величину повітряного зазору приймають мінімально можливою, виходячи з механічних умов надійності обертання якоря.

СПИСОК ЛІТЕРАТУРИ

- Лущик В.Д. Двигатели постоянного тока с неявнополюсным статором // Электротехника. – 1992. – № 8 – 9. – с. 14-17.
- Лущик В.Д. Суміщені електричні машини та апарати . К.: Техніка, 1993.-203 с. Мова рос.
- Лущик В.Д. Електричні машини постійного струму з новою системою електромагнітного збудження // Електротехніка і електромеханіка. – 2008. – №2. – с. 39-41.

Поступила 20.08.2009

*Лущик В'ячеслав Данилович, д. т. н., професор
Донбаський державний технічний університет,
кафедра "Електричні машини і апарати"
Україна, 94204, Алчевськ, пр. Леніна, 16
тел. 80964387409, e-mail:info@dmmi.edu.ua*

*Varvanskyi Artem Jurijovich
BAT "Електромашини", СКБ
Україна, 61016, Харків, вул. Муранова, 106*

V.D. Luschik, A.Yu. Varvansky

A diesel locomotive DC starter-generator with an implicit-pole stator

A diesel locomotive DC starter-generator with an implicit-pole stator is considered, its design and electromagnetic characteristics and distinctions compared with a production starter-generator.

Key words – diesel locomotive, DC starter-generator, implicit-pole stator, design and electromagnetic characteristics